

Vysoká škola: strojní a textilní
Fakulta: strojní

Katedra: sklář. a keram. strojů
Školní rok: 1980/81

DIPLOMOVÝ ÚKOL

pro Romana V i n š e
obor 23-21-8 stroje a zařízení pro chemický, potravinářský
a spotřební průmysl

Protože jste splnil..... požadavky učebního plánu, zadává Vám vedoucí katedry ve smyslu směrnic ministerstva školství a kultury o státních závěrečných zkouškách tento diplomový úkol:

Název tématu: Výpočet pevnosti skleněného obalu.

P o k y n y p r o v y p r a c o v á n í :

1. Seznámení se současnými a perspektivními způsoby výroby skleněných obalů.
 2. Seznámení s teorií výpočtu tenkých skořepin středově souměrných.
 3. Výpočet napjatosti, která vzniká ve spodní části láhve EVRO při vnitřním přetlaku se zřetelem na tloušťku stěny láhve.
 4. Zhodnocení technické a ekonomické důležitosti zadaného úkolu.

ప్రాణ ప్రాణికి సుఖి లేదని అన్నాడు.

S. ČESKÁ ŠKOLA STROJNÍ A T
ZDANÍ, KNÍHODR.
T. S. 1, STUDENÝ
č. 481 17

Rozsah grafických laboratorních prací: cca 40 stran textu včetně příslušných výpočtů a grafů.

Rozsah průvodní zprávy:

Seznam odborné literatury:

Gorbatov N., Valenta J.: Statika skořepin a skořepinových konstrukcí, SNTL 1972
Placák V., Kunc J.: Výpočet napjatosti skořepin, SNTL 1966
Prošek A.: Výpočt dimenzí láhví z plastů, diplomová práce 1977

Vedoucí diplomové práce:

Ing. Jitka Kvapilová

Konsultanti:

Ing. Křivánková, Sklo Union Teplice

Datum zahájení diplomové práce:

15. 9. 1980

Datum odevzdání diplomové práce:

12. 6. 1981

L. S.

Doc.Ing.Jaroslav Belda,CSc.
Vedoucí katedry

Doc.RNDr.B Bohuslav Stříž,CSc
Děkan

VYSOKÁ ŠKOLA STROJNÍ A TEXTILNÍ V LIBERCI
HOSITEĽKA ŘÁDU PRÁCE

FAKULTA STROJNÍ

Obor 23 - 21 - 8

Stroje a zařízení pro chemický, potravinářský
a spotřební průmysl

Zaměření

sklářské a keramické stroje

Katedra sklářských a keramických strojů

VÝPOČET PEVNOSTI SKLENĚNÉHO OBALU

ROMAN VÍNEŠ

Vedoucí práce: Ing. Jitka Kvapilová, VŠST Liberec

Konsultant: Ing. Křivánková, Sklo Union Teplice

Rozsah práce a příloh

Počet stran: 46

Počet obrázků: 9

Počet tabulek: 6

Počet příloh: 4

KSK/ek

2. června 1981

"Místopřísežně prohlašuji, že jsem diplomovou práci
vypracoval samostatně a použitím uvedené literatury."

V Liberci 2. června 1981

Roman Vlně

OBSAH

- Seznam použitých skratek a symbolů**
- Úvod**
- 1. Současné a perspektivní způsoby výroby skleněných obalů**
 - 1.1 Současný stav**
 - 1.2 Nedostatky při současném tvarování skleněných obalů**
 - 1.2.1. Úprava viskozity a dávkování**
 - 1.2.2. Dávka kapky**
 - 1.2.3. Tvarování**
 - 1.3. Perspektivní způsoby výroby skleněných obalů**
 - 1.4. Láhev EVA**
- 2. Teoretická část**
 - 2.1. Základní rovnice tenkostěnných rotačních skořepin**
 - 2.2. Válcová skořepina**
 - 2.3. Amulciová skořepina**
 - 2.4. Deska**
- 3. Výpočet**
 - 3.1. Zjednodušený výpočet**
 - 3.1.1. Výpočet napětí skořepiny**
 - 3.1.2. Výpočet napětí desky**
 - 3.2. Výpočet s amulciovým přechodem**
 - 3.2.1. Okrajové podmínky**
 - 3.2.2. Průběhy napětí, jednotkových sil a momentů**
- 4. Technické a ekonomické zhodnocení**
- 5. Závěr**
- 6. Seznam příloh**
- 7. Seznam použité literatury**

Soznam použitých zkratok a symbolů

- E modul pružnosti [MPa]
 N_1, N_2 jednotkové normálné sily [MNm^{-1}]
 S_1, S_2 jednotkové snykové sily [MNm^{-1}]
 Q_1, Q_2 jednotkové posouvající sily [MNm^{-1}]
 M_1, M_2 jednotkové ohýbové momenty [MN]
 M_{12}, M_{21} ... jednotkové krouticí momenty [MN]
 M statický neurčitý ohýbový moment [MN]
 Q statický neurčitá posouvající síla [MNm^{-1}]
 D jednotková ohýbová tuhost skořepiny [MNm]
 D_1 jednotková ohýbová tuhost desky [MNm]
 x, y, z souřadnice
 u, v, w, ξ, ζ .. posuvy [m]
 h tloušťka skořepiny [m]
 h_2 tloušťka dna [m]
 P vnitřní přetlak [MPa]
 ϵ, ϵ_2 poměrné deformace
 α, α_2 změny křivosti
 B součinitel útlumu [m^4]
 ϑ úhel otočení tečny meridiánu [$^\circ$]
 σ_{os} osové ohýbové napětí [MPa]
 σ_{ob} obvodové ohýbové napětí [MPa]
 σ_{am} osové membránové napětí [MPa]
 σ_{tm} obvodové membránové napětí [MPa]
 σ_a^I osové napětí na vnějším vlákně [MPa]
 σ_t^I obvodové napětí na vnějším vlákně [MPa]
 σ_a^E osové napětí na vnitřním vlákně [MPa]
 σ_t^E obvodové napětí na vnitřním vlákně [MPa]
 σ_r^I radiální napětí na vnějším vlákně [MPa]
 σ_r^E radiální napětí na vnitřním vlákně [MPa]

G_P mcs pevnosti v tlaku [MPa]
 G_R mcs pevnosti v tlaku [MPa]
 μ Poissonova konstanta
 $a, a_1, r, r_0, r_1, r_2 \dots$ poloměry [m]
 φ úhel ameloidové skořepiny [°]

ÚVOD

Průmyslová výroba je rozhodující pro rozvoj národního hospodářství a zvyšování jeho efektivnosti. Úkoly pro jeho další rozvoj byly stanoveny na XVI. sjezdu KSC a v jeho závěrech. Sklářský průmysl, který je důležitým odvětvím našeho lehkého průmyslu, uspokojuje potřeby československého národního hospodářství, ale protože ve výrobě skla je dosahováno vysokého zhodnocení domácích surovin, jsou sklářské výrobky zároveň výhodným vývozním artiklem.

Rozvoj sklářského průmyslu je zaměřen především na rozšíření výroby technických výrobků pro další výrobní spotřebu a snižování jeho energetické náročnosti. Plán vědeckotechnického rozvoje na 7. pětiletce zadal úkoly, které věnují mimořádnou pozornost modernizaci výrobní základny. Zvýšením úrovně tvárovacích strojů a forem dosahovat vyššího zhodnocení domácích surovin.

Pevnost vytvarovaných lahvi závisí na řadě faktoriů. K nejdůležitějším činitelům patří mechanické vlastnosti obalového skla, tvar výrobku, tloušťka stěny a její rovnoměrnost. Spičky napětí vznikají v oblasti přechodu mezi válcovou částí láhvě a dnem láhvě. Tím je také omezena minimální tloušťka stěny výrobku.

Úkolem diplomové práce je podat obrázek o napjatosti, která vzniká ve spodní části láhvě EVRO při vnitřním přetlaku s ohledem na tloušťku stěny láhvě. Pro výpočty byla použita teorie tenkostěnných rotujících skořepin.

1. Současné a perspektivní spôsoby výroby skleněných obalů

1.1 Současný stav

V současné době se většina obalového lakového skla vyrábí dvakrátoukacím spôsobem na řadových strojích.

Stanicce řadových strojů jsou uspořádány vedle sebe v jednotlivých sekciích. Formy se neotáčejí, ale stojí a pouze se otevírají nebo zavírají. Dávkování je kapkové, kdy kapky jsou rosváděny do jednotlivých předních forem ve stanicích činnosti výsuvajících hlav řlábků, stabilních řlábků a odchylovačů. Po pádu kapky skloviny do přední formy dosedne na kuželovou plochu nálevky zafukovací hlava a stlačený vzduch vtlačí sklovinnu do dutiny ústní formy a vyformuje ústí láhvě do konečného tvaru. Po vytvoření ústí láhvě kolem zasunutého ústníku se zafukovací hlava a nálevka zvednou, zafukovací hlava se přisune zpět na přední formu tak, že tvoří dno přední formy. Ústník se vysune a tímto otvorem se vhání stlačený vzduch, který vyfoukne sklovinnu do přední formy, takže baňka má tvar dutiny přední formy. Po vyfouknutí baňky je staženo vodítko ústníku, uvolní se přední forma, zdvihne se zafukovací hlava, otevře se přední forma a baňka držená v ústní formě je přenesena inverzním mechanismem do konečné formy. Konečná forma se ušaví, ústní forma se uvolní a přesune do výchozí polohy. Baňka je zavěšena za ústí v konečné formě a prohřívá se teplem akumulovaným ve sklovině. Baňka se vlastní vahou protahuje, až dosedne na dno konečné formy a foukací hlavou přisunutou na ústí baňky se přivádí stlačený vzduch, kterým je baňka rozfouknuta do dutiny konečné formy. Po odměti takového množství tepla kovovou konečnou formou, aby sklovina ztuhla a láhev si držela svůj tvar se

odmuna foukací hlava, láhev je kleštěmi uchopena pod ústím, konečná forma se otevře a výrobek je přenesen na odstávkovou desku, kde je ochlazován proudícím vzduchem. Po dobu vyrovnání intervalu pracovního cyklu, se láhev přesune na dopravník, který dopravuje výrobky k chladící peci.

1.2 Nedostatky při současném tvarování skleněných sbalů

1.2.1 Úprava viskozity a dávkování

Potřeba skloviny se neustále mění, víceméně řadové stroje a tvarování dvoukapkou a tříkapkou svýšily kapacitní požadavky na současné feedry a předpeci.

Celkové nároky na ovládání teploty kapky jsou v rozmezí $\pm 1^\circ\text{C}$. Skutečný rozdíl mezi bodem, ve kterém se teplota měří a sklovinou, která je ve styku se dnem kanálu předpeci a vertikálně se stěnami kanálu čini až 10°C .

1.2.2 Dávka kapky

Tepelná homogenita kapky, jak je zajištěna předpecí a feedrem je znehodnocena systémem žlábkového rozdělování kapky, který je používán ke všem sekciim lakovacích strojů. Žlábkové dávkovači zařízení je používáno proto, že tyto stroje jsou výlučně víceméně, uspořádané v řadě a jsou zásobovány z jednoho feedru.

Žlábkové dávkovači zařízení spisobuje tyto nedostatky:

- u lakovacích strojů je čas, který proběhne mezi odstraněním kapky a jejím dopadem do formy různý mezi jednotlivými sekcemi
- doba styku skloviny s kovem je tedy různá a tím jsou různé teploty na povrchu kapek doprovázených do různých sekcí
- jako funkce proběhnuté dráhy se sklovina různě deformuje a v důsledku toho kapky mění tvar a teplotu

- žlábkové dávkovací zařízení vyžaduje vysoké hladiny skloviny, aby byla zajištěna vysoká rychlosť kapky umožňující dodržet rychlosť moderních strojů

Vyloučení této metody dopravy kapky má základní důležitost a přímé akupunkti kapky by mělo mít prioritu v nové konцепci tvarování.

1.2.3. Tvarování

V procesu tvarování mají řadové stroje vyrábějící obaly dvakrát founkacím způsobem následující nedostatky:

- použitím žlábkového dávkovacího zařízení nemí možné dosáhnout homogenní viskozity kapky v přední formě
- inverzní mechanismus je ztrátou důležitého tvarovacího času
- vztah mezi časem přední formy a konečné formy je v podstatě stejný
- čas pro zpětné prehřátí baňky je malý

1.3 Perspektivní způsoby výroby skleněných obalů

Velikým přínosem pro tvarování je výroba úzkohrdlých láhví lisofoukací metodou. Tento postup se poprvé objevil u firmy Heys v roce 1968. Lisofoukací metoda proti dvakrát-founkaci metodě zajišťuje daleko lepší rozdělení skloviny, a to umožňuje vyrábět lávve stejné pevnosti podstatně lehči.

U budoucích strojů by mělo být zajištěno:

- pro tvarování se použije lisofoukací postup
- použije se systém dávkování přímým pádem kapky
- odstraní se potřeba inverzního mechanismu nebo penížití stávajícího systému přední formy
- zajistí se přiměřené možství času pro konečnou formu ve vztahu k času přední formy

- zajistí se přiměřený čas pro znovuprohřáti předlisku dříve než začne defukování v konečné formě
- stroje budou přesně ovladatelné v každé části procesu
- tvarování a odnímání tepla

Těmto požadavkům odpovídají stroje Heye 6-12 a Heye 1-2.

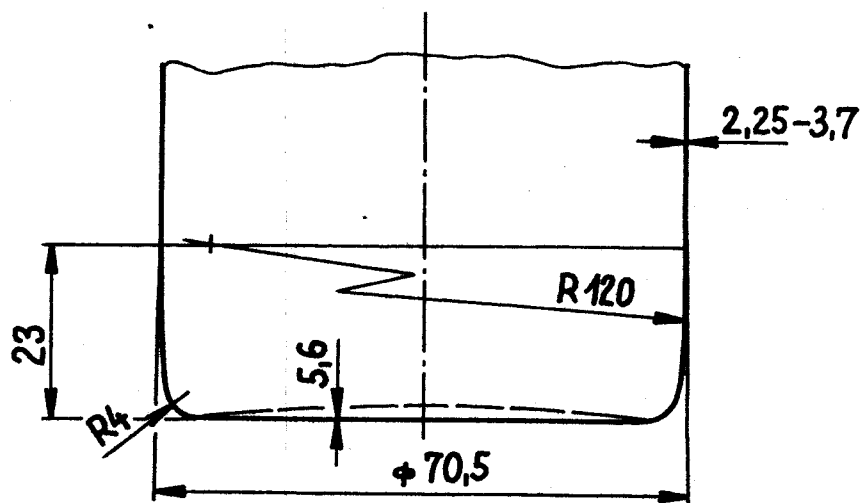
Stroj Heye 6-12 se sestává ze dvou kontinuálně se otáčejících, nesáviale mechanicky poháněných a přesně synchronizovaných stolů. Jedna ze šesti stanic se používá k vytvarování předliska lisováním skloviny pomocí plunžru pohybujícího se vertikálně směrem dolů středem ústní formy a zbývajících dvanáct stanic se používá k vyfukování konečného tvaru. Tyto dva stoly jsou vzájemně spojeny nekoncovým pásem s drážky ústních forem, přičemž první část nese vytvarovaný předlisek ke konečné formě, zatímco ten se přitom prohřívá a zatahuje a druhá část nese vyfouknutou láhev nad stejnou rychlostí se pohybujícím konvejerem, kde ji ústní forma uvolní k přepravě a další manipulaci.

Stroj má při dvoukapekém postupu výkon až 600 lahvi/min a je schopen vyrábět láhve o současně používaných vahách, stejně jako ultralehké láhve budoucnosti, u nichž by mohla být požadována tloušťka stěny dokonce jen asi 0,5 mm.

Dvoustolový stroj Heye 1-2 je v podstatě vývojem stroje Heye 6-12 a splňuje tytéž podmínky, jen s tím rozdílem, že produkční kapacita je 80 lahvi/min při dvoukapce.

1.4. Láhev EWRO

Výpočet je proveden v kritickém místě spodní části láhvě, v přechodně nesí válcovou části láhvě a dnem láhvě. Spodní část láhvě je na obr.1.



Obr.1

Podle požadavku Sklo Unionna Teplice je dno láhvě počítáno jako rovná deska. Výpočet je proveden pro tlak $p=1,5 \text{ MPa}$ a $p=2,0 \text{ MPa}$. Amuloidový přechod o poloměru $R=120 \text{ mm}$ nemá ve výpočtu uvažován, neboť uvedená metoda nemá pro něj vhodná. Amuloid o poloměru $r=4 \text{ mm}$ nesplňuje úplně podmínky tenkostěnnosti. Z těchto důvodů budou napětí ve skutečnosti poněkud menší než vycházejí podle výpočtu.

Mechanické vlastnosti obalového skla

$$E = 72000 \text{ MPa}$$

$$\mu = 0,23$$

$$\sigma_{pt} = 50 \text{ MPa}$$

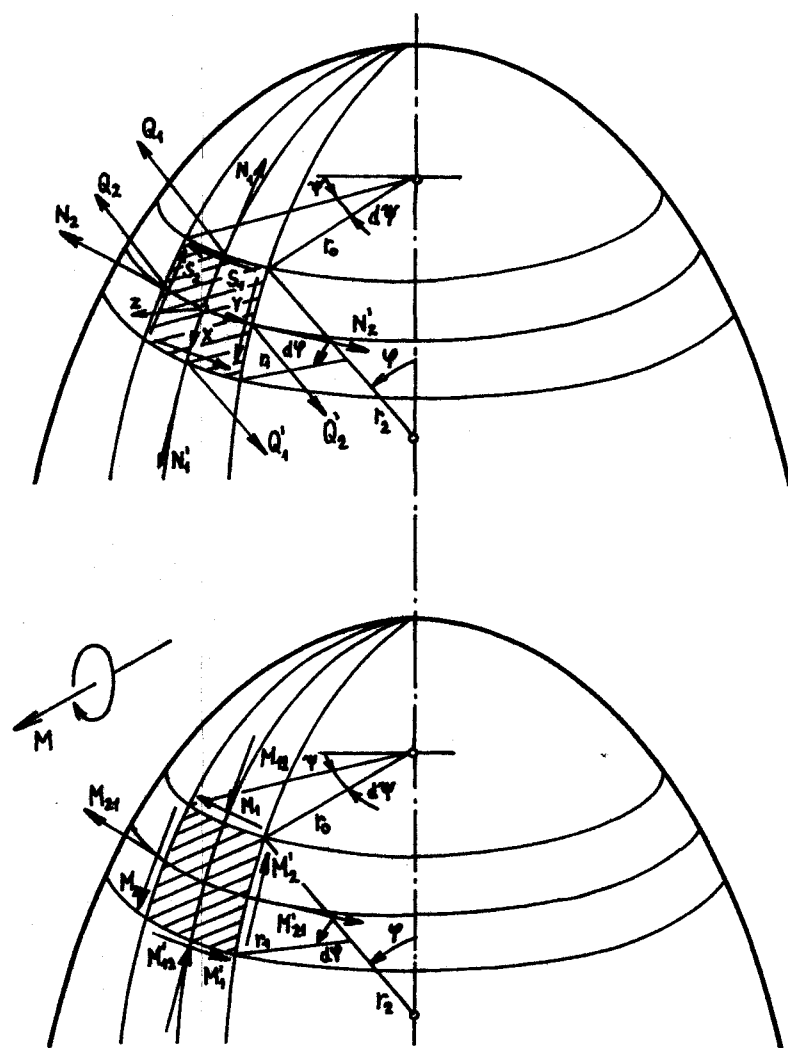
$$\sigma_{p1} = 10\sigma_{pt}$$

2. TEORETICKÁ ČÁST

2.1 Základní rovnice tenkostěnných rotačních skořepin

Základní rovnice pro tenkostěnné rotační skořepiny jsou odvozeny použitím tzv. technické lineární teorie skořepin.

Kladné smysly jednotkových sil a momentů jsou znázorněny na obrázku 2.



Obr. 2

Rovnice rovnováhy mají tvar

$$\frac{\partial}{\partial \psi} (N_1 r_0) + r_1 \frac{\partial S_2}{\partial \psi} - N_2 r_1 \cos \psi - Q_1 r_0 + r_1 r_0 X = 0$$

$$\frac{\partial}{\partial \psi} (S_1 r_0) + r_1 \frac{\partial N_2}{\partial \psi} + S_2 r_1 \cos \psi - Q_1 r_1 \sin \psi + r_1 r_0 Y = 0$$

$$\frac{\partial}{\partial \psi} (Q_1 r_0) + r_1 \frac{\partial Q_2}{\partial \psi} + N_2 r_1 \sin \psi + N_1 r_0 - r_1 r_0 Z = 0$$

$$\frac{\partial}{\partial \psi} (M_{21} r_0) + r_1 \frac{\partial M_{21}}{\partial \psi} + M_{21} r_1 \cos \psi - r_1 r_0 Q_2 = 0$$

$$\frac{\partial}{\partial \psi} (M_{12} r_0) + r_1 \frac{\partial M_{21}}{\partial \psi} - M_{21} r_1 \cos \psi - r_1 r_0 Q_1 = 0$$

$$S_1 + \frac{M_{12}}{r_1} = S_2 + \frac{M_{21}}{r_2} \quad (1)$$

Poslední rovnice je identitou, a proto se jí pro řešení deformace a napjatosti tenkostěnných skořepin nepoužívá.

Deformační rovnice mají tvar

$$\varepsilon_1 = \frac{1}{r_1} \left(\frac{\partial u}{\partial \psi} + w \right)$$

$$\varepsilon_2 = \frac{1}{r_0} \left(\frac{\partial v}{\partial \psi} + u \cos \psi + w \sin \psi \right)$$

$$\omega = \frac{1}{r_0} \frac{\partial u}{\partial \psi} + \frac{1}{r_1} \frac{\partial v}{\partial \psi} - \frac{v}{r_0} \cos \psi$$

$$x_1 = -\frac{1}{r_1^2} \left(\frac{\partial^2 w}{\partial \psi^2} + w \right) - \frac{1}{r_1^3} \left(u - \frac{\partial w}{\partial \psi} \right) \frac{\partial r_1}{\partial \psi}$$

$$x_2 = -\frac{1}{r_0^2} \frac{\partial^2 w}{\partial \psi^2} - \frac{1}{r_0 r_1} \frac{\partial w}{\partial \psi} \cos \psi - \frac{w}{r_2^2} - \frac{u}{r_1 r_2^2} \frac{\partial r_2}{\partial \psi}$$

$$\tau = -\frac{2}{r_1 r_0} \left(\frac{\partial^2 w}{\partial \varphi \partial \psi} - \frac{u}{r_0} \frac{\partial w}{\partial \psi} \cos \varphi \right) - \frac{r_2 - r_1}{r_1 r_2} \left(\frac{1}{r_0} \frac{\partial u}{\partial \psi} - \frac{1}{r_1} \frac{\partial v}{\partial \psi} + \frac{v}{r_0} \cos \varphi \right)$$

(2)

Jednotkové síly a momenty jsou pak dány vzorci

$$N_1 = \frac{Eh}{1-\mu^2} \left\{ \frac{1}{r_1} \frac{\partial u}{\partial \psi} + \frac{w}{r_1} - \frac{\mu}{r_0} \left(\frac{\partial v}{\partial \psi} + u \cos \varphi + w \sin \varphi \right) - \right. \\ \left. - \frac{h^2}{12} \frac{r_2 - r_1}{r_1 r_2} \frac{1}{r_1} \left[\frac{\partial^2 w}{\partial \psi^2} + w + \frac{1}{r_1} \left(u - \frac{\partial w}{\partial \psi} \right) \frac{\partial r_1}{\partial \psi} \right] \right\}$$

$$N_2 = \frac{Eh}{1-\mu^2} \left[\frac{1}{r_0} \left(\frac{\partial v}{\partial \psi} + u \cos \varphi + w \sin \varphi \right) + \frac{\mu}{r_1} \left(\frac{\partial u}{\partial \psi} + w \right) - \right. \\ \left. - \frac{h^2}{12} \frac{r_2 - r_1}{r_1 r_2} \left(\frac{1}{r_0} \frac{\partial^2 w}{\partial \psi^2} + \frac{1}{r_0 r_1} \frac{\partial w}{\partial \psi} \cos \varphi + \frac{w}{r_0^2} + \frac{u}{r_1 r_2^2} \frac{\partial r_2}{\partial \psi} \right) \right]$$

$$S_1 = \frac{Eh}{2(1+\mu)} \left\{ \left[1 + \frac{h^2}{12} \frac{(r_2 - r_1)^2}{r_1^2 r_2^2} \right] \left(\frac{1}{r_0} \frac{\partial u}{\partial \psi} + \frac{1}{r_1} \frac{\partial v}{\partial \psi} - \frac{v}{r_0} \cos \varphi \right) + \right. \\ \left. + \frac{h^2}{12} \frac{2(r_2 - r_1)}{r_1^2 r_2^2} \left(\frac{\partial^2 w}{\partial \psi \partial \psi} - \frac{r_1}{r_0} \frac{\partial w}{\partial \psi} \cos \varphi \right) \right\}$$

$$S_2 = \frac{Eh}{2(1+\mu)} \left\{ \left[1 - \frac{h^2}{12} \frac{r_2^2 - r_1^2}{r_1^2 r_2^2} \right] \left(\frac{1}{r_0} \frac{\partial u}{\partial \psi} + \frac{1}{r_1} \frac{\partial v}{\partial \psi} - \frac{v}{r_0} \cos \varphi \right) - \right. \\ \left. - \frac{h^2}{12} \frac{2(r_2 - r_1)}{r_1^2 r_2^2} \left(\frac{\partial^2 w}{\partial \psi \partial \psi} - \frac{r_1}{r_0} \frac{\partial w}{\partial \psi} \cos \varphi \right) \right\}$$

$$M_1 = \frac{Eh^3}{12(1-\mu^2)} \left\{ \frac{1}{r_1^2} \left[\frac{\partial^2 w}{\partial \psi^2} - \frac{\partial u}{\partial \psi} - \frac{1}{r_1} \left(\frac{\partial w}{\partial \psi} - u \right) \frac{\partial r_1}{\partial \psi} \right] + \right. \\ \left. + \mu \left(\frac{1}{r_0^2} \frac{\partial^2 w}{\partial \psi^2} + \frac{1}{r_0 r_1} \frac{\partial w}{\partial \psi} \cos \varphi + \frac{w}{r_2^2} + \frac{u}{r_1 r_2^2} \frac{\partial r_2}{\partial \psi} \right) - \frac{1}{r_2} \left[\frac{1}{r_1} \left(\frac{\partial u}{\partial \psi} + w \right) + \frac{\mu}{r_0} \left(\frac{\partial v}{\partial \psi} + \right. \right. \right. \\ \left. \left. \left. + \frac{v}{r_0} \cos \varphi \right) \right] \right\}$$

$$+ u \cos \varphi + w \sin \varphi) \Big] \Big\}$$

$$M_2 = \frac{Eh^3}{12(1-\mu^2)} \left\{ \frac{1}{r_0^2} \frac{\partial^2 w}{\partial \varphi^2} + \frac{1}{r_0 r_1} \frac{\partial w}{\partial \varphi} \cos \varphi + \frac{w}{r_2^2} + \frac{u}{r_1 r_2} \frac{\partial r_2}{\partial \varphi} + \frac{\mu}{r_2^2} \left[\frac{\partial^2 w}{\partial \varphi^2} - \frac{\partial u}{\partial \varphi} - \right. \right.$$

$$\left. - \frac{1}{r_1} \left(\frac{\partial w}{\partial \varphi} - u \right) \frac{\partial r_2}{\partial \varphi} \right] + \frac{1}{r_1} \left[\frac{1}{r_0} \left(\frac{\partial v}{\partial \varphi} + u \cos \varphi + w \sin \varphi \right) + \frac{\mu}{r_2} \left(\frac{\partial u}{\partial \varphi} + w \right) \right] \Big\}$$

$$M_{12} = -\frac{Eh^3}{12(1+\mu)} \left[\frac{1}{r_0 r_1} \left(\frac{\partial^2 w}{\partial \varphi \partial \psi} - \frac{\partial u}{\partial \varphi} - \frac{\partial v}{\partial \varphi} \cos \varphi \right) - \frac{1}{r_0^2} \left(\frac{\partial w}{\partial \varphi} \cos \varphi - \right. \right.$$

$$\left. - v \sin \varphi \cos \varphi \right) - \frac{1}{2r_2} \left(\frac{1}{r_1} \frac{\partial v}{\partial \varphi} + \frac{1}{r_0} \frac{\partial u}{\partial \varphi} - \frac{v \cos \varphi}{r_0} \right) \Big]$$

$$M_{21} = -\frac{Eh^3}{12(1+\mu)} \left[\frac{1}{r_0 r_1} \left(\frac{\partial^2 w}{\partial \varphi \partial \psi} - \frac{\partial u}{\partial \varphi} - \frac{\partial v}{\partial \varphi} \cos \varphi \right) - \frac{1}{r_0^2} \left(\frac{\partial w}{\partial \varphi} \cos \varphi - \right. \right.$$

$$\left. - v \sin \varphi \cos \varphi \right) - \frac{1}{2r_1} \left(\frac{1}{r_0} \frac{\partial v}{\partial \varphi} + \frac{1}{r_0} \frac{\partial u}{\partial \varphi} - \frac{v \cos \varphi}{r_0} \right) \Big] \quad (3)$$

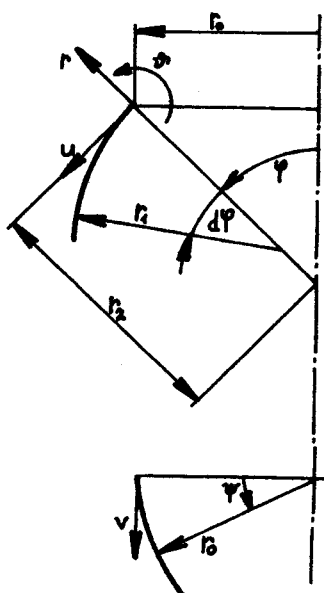
Pro rotační skořepiny základních geometrických tvarů jsou zvoleny tyto zjednodušené tvary deformačních rovnic

$$\epsilon_1 = \frac{1}{r_1} \left(\frac{\partial u}{\partial \varphi} + w \right)$$

$$\epsilon_2 = \frac{1}{r_0} \frac{\partial v}{\partial \varphi} + \frac{u \cos \varphi + w \sin \varphi}{r_0}$$

$$\omega = \frac{1}{r_1} \frac{\partial v}{\partial \varphi} + \frac{1}{r_0} \frac{\partial u}{\partial \varphi} - \frac{v}{r_0} \cos \varphi$$

$$x_1 = \frac{1}{r_1^2} \left(\frac{\partial u}{\partial \varphi} - \frac{\partial^2 w}{\partial \varphi^2} \right)$$



Obr. 3

$$x_2 = \frac{1}{r_o^2} \left(\frac{\partial v}{\partial \psi} \sin \psi - \frac{\partial^2 w}{\partial \psi^2} \right) + \frac{\cos \psi}{r_i r_o} \left(u - \frac{\partial w}{\partial \psi} \right)$$

$$\tau = \frac{1}{r_i r_o} \left(\frac{\partial^2 w}{\partial \psi^2} - \frac{\partial v}{\partial \psi} \sin \psi - \frac{\partial u}{\partial \psi} \right)$$

(4)

kde $\vartheta = \frac{1}{r_i} \left(u - \frac{\partial w}{\partial \psi} \right)$ je úhel pootočení tečny k meridiánu po deformaci.

Kladné smysly posuvu a natočení hlavních řezů skořepiny po deformaci jsou na obrázku 3.

Jednotkové síly a momenty pak nabudou jednoduššího tvaru

$$N_1 = \frac{Eh}{1-\mu^2} (\varepsilon_1 + \mu \varepsilon_2) = \frac{Eh}{1-\mu^2} \left[\frac{1}{r_i} \frac{\partial u}{\partial \psi} + \frac{w}{r_i} + \frac{\mu}{r_o} \left(\frac{\partial v}{\partial \psi} + u \cos \psi + w \sin \psi \right) \right]$$

$$N_2 = \frac{Eh}{1-\mu^2} (\varepsilon_2 + \mu \varepsilon_1) = \frac{Eh}{1-\mu^2} \left[\frac{1}{r_o} \left(\frac{\partial v}{\partial \psi} + u \cos \psi + w \sin \psi \right) + \frac{\mu}{r_i} \left(\frac{\partial u}{\partial \psi} + w \right) \right]$$

$$S_1 = S_2 = \frac{Eh(1-\mu)}{2(1-\mu^2)} \omega = \frac{Eh(1-\mu)}{2(1-\mu^2)} \left(\frac{1}{r_i} \frac{\partial v}{\partial \psi} + \frac{1}{r_o} \frac{\partial u}{\partial \psi} - \frac{v}{r_o} \cos \psi \right)$$

$$M_2 = -D(x_2 + \mu x_1) = -\frac{Eh^3}{12(1-\mu^2)} \left[\frac{1}{r_o^2} \left(\frac{\partial v}{\partial \psi} \sin \psi - \frac{\partial^2 w}{\partial \psi^2} \right) + \frac{\cos \psi}{r_i r_o} \left(u - \frac{\partial w}{\partial \psi} \right) + \frac{\mu}{r_i^2} \left(\frac{\partial u}{\partial \psi} - \frac{\partial^2 w}{\partial \psi^2} \right) \right]$$

$$M_1 = -D(x_1 + \mu x_2) = -D \left[\frac{1}{r_i^2} \left(\frac{\partial u}{\partial \psi} - \frac{\partial^2 w}{\partial \psi^2} \right) + \frac{\mu}{r_o^2} \left(\frac{\partial v}{\partial \psi} \sin \psi - \frac{\partial^2 w}{\partial \psi^2} \right) + \frac{u \cos \psi}{r_i r_o} \left(u - \frac{\partial w}{\partial \psi} \right) \right]$$

$$M_{12} = M_{21} = -D(1-\mu)\tau = \frac{D(1-\mu)}{r_i r_o} \left(\frac{\partial^2 w}{\partial \psi^2} - \frac{\partial u}{\partial \psi} - \frac{\partial v}{\partial \psi} \sin \psi \right)$$

(5)

2.2 VÁLCOVÁ SKOŘEPINA

Pro souřadnicový systém podle obr. 2 platí

$$r_1 = r_2 = a, \frac{1}{r_1} = 0, \Psi = \alpha, \Psi = \beta$$

Rovnice rovnováhy mají podle Vlasova pro válcovou kruhovou skořepinu tvar

$$\frac{\partial N_1}{\partial \alpha} + \frac{\partial S_2}{\partial \beta} + aX = 0$$

$$\frac{\partial N_2}{\partial \beta} + \frac{\partial S_1}{\partial \alpha} + Q_2 + aY = 0$$

$$-N_2 + \frac{\partial Q_1}{\partial \alpha} + \frac{\partial Q_2}{\partial \beta} + aZ = 0$$

$$\frac{\partial M_{12}}{\partial \alpha} - \frac{\partial M_{21}}{\partial \beta} - aQ_2 = 0$$

$$\frac{\partial M_{21}}{\partial \beta} - \frac{\partial M_{12}}{\partial \alpha} - aQ_2 = 0 \quad (6)$$

Zjednodušené vztahy pro jednotkové síly a jednotkové momenty jsou stanoveny z rovnic (5) pro $r_1 d\Psi = dx$

$$N_1 = \frac{Eh}{1-\mu^2} \left[\frac{\partial u}{\partial x} + \frac{\mu}{a} \left(\frac{\partial v}{\partial \varphi} + w \right) \right]$$

$$N_2 = \frac{Eh}{1-\mu^2} \left[\frac{1}{a} \left(\frac{\partial v}{\partial \varphi} + w \right) + \mu \frac{\partial u}{\partial x} \right]$$

$$S_1 = S_2 = \frac{(1-\mu)Eh}{2(1-\mu)^2} \left(\frac{\partial v}{\partial x} + \frac{1}{a} \frac{\partial u}{\partial \varphi} \right)$$

$$M_1 = D \left[\frac{\partial^2 w}{\partial x^2} + \frac{\mu}{a^2} \left(\frac{\partial^2 w}{\partial \varphi^2} - \frac{\partial v}{\partial \varphi} \right) \right]$$

$$M_2 = D \left[\frac{1}{a^2} \left(\frac{\partial^2 w}{\partial \varphi^2} - \frac{\partial v}{\partial \varphi} \right) + \mu \frac{\partial^2 w}{\partial x^2} \right]$$

$$M_{12} = M_{21} = \frac{(1-\mu)}{a} D \left(\frac{\partial^2 w}{\partial x \partial \varphi} - \frac{\partial v}{\partial x} \right) \quad (7)$$

Dále podle (6) platí

$$Q_1 = \frac{D}{a} \left(\frac{\partial^2 u}{\partial x^2} - \frac{1-\mu}{2a} \frac{\partial^2 u}{\partial \varphi^2} + \frac{1+\mu}{2} \frac{\partial^2 v}{\partial x \partial \varphi} \right)$$

$$Q_2 = D \left[(1-\mu) \frac{\partial^2 v}{\partial x^2} - \frac{\partial w}{\partial \varphi} \frac{1}{a} \right] \quad (8)$$

kde $D = \frac{Eh^3}{12(1-\mu^2)}$ je jednotková ohybová tuhost skořepiny

Po dosazení z (7) do (6) mají zjednodušené základní rovnice kruhových válcových skořepin tvar

$$\frac{\partial^2 u}{\partial x^2} + \frac{1-\mu}{2a^2} \frac{\partial^2 u}{\partial \varphi^2} + \frac{1+\mu}{2a} \frac{\partial^2 v}{\partial x \partial \varphi} + \frac{\mu}{a} \frac{\partial w}{\partial x} = - \frac{1-\mu^2}{Eh} aq_x$$

$$\frac{1+\mu}{2} \frac{\partial^2 u}{\partial x \partial \varphi} + a \frac{1-\mu}{2} \frac{\partial^2 v}{\partial x^2} + \frac{1}{a} \frac{\partial^2 v}{\partial \varphi^2} + \frac{1}{a} \frac{\partial w}{\partial \varphi} = - \frac{1-\mu^2}{Eh} aq_r$$

$$\mu \frac{\partial u}{\partial x} + \frac{\partial v}{a \partial \varphi} + \frac{w}{a} + \frac{h^2}{12} \left(\frac{\partial^4 w}{\partial x^4} + \frac{2}{a} \frac{\partial^4 w}{\partial x^2 \partial \varphi^2} + \frac{\partial^4 w}{a^2 \partial \varphi^4} \right) = \frac{1-\mu^2}{Eh} aq_z$$

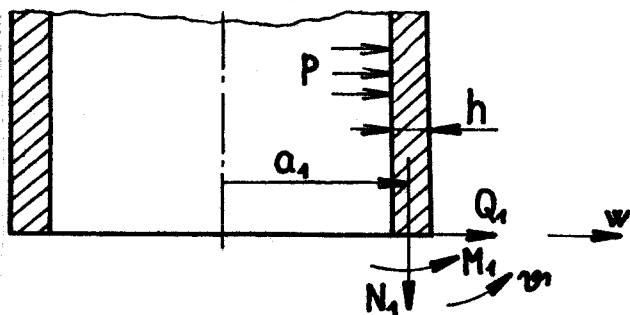
(9)

Pro válcovou kruhovou skořepinu zatíženou přetlakem a okrajovými účinky podle obr. 4 je z důvodu osové symetrie $v=0$ a $\partial/\partial \varphi = \partial^2/\partial \varphi^2 = 0$.

Jestliže je délka válce $l=x$, kde $x = \frac{\pi \sqrt{a h}}{\sqrt{3(1-\mu^2)}}$

lze vzájemný účinek okrajů zanedbat a výpočty od okrajových

jednotkových sil a momentů počítat pro nekonečně dlouhý válec.



Obr. 4

Z rovnice (9) plyne

$$\frac{\partial}{\partial x} \left(\frac{\partial u}{\partial x} + \frac{\mu}{a} w \right) = 0$$

$$\frac{\partial u}{\partial x} + \frac{\mu}{a} w = \frac{1-\mu^2}{Eh} N_1 \quad (10)$$

Druhá rovnice (9) odpadá a z třetí rovnice (9) dostaneme

$$\frac{dw}{dx^4} + 4\beta^4 w = \frac{12(1-\mu^2)}{Eh} p \left(1 - \frac{\mu}{2}\right) \quad (11)$$

$$\text{kde } \beta^4 = \frac{3(1-\mu^2)}{a_1^2 h^2}$$

Řešení rovnice (11) je součtem homogenního a partikulárního řešení

$$w = \frac{a_1^2}{Eh} \left(1 - \frac{\mu}{2}\right) p + \left[(c_5 + c_6) \cos \beta x - (c_5 - c_6) \sin \beta x \right] \frac{1}{2\beta} e^{-\beta x} \quad (12)$$

$$m = (c_6 \sin \beta x + c_5 \cos \beta x) e^{-\beta x} \quad (13)$$

Z rovnic (7) a (8) dostaneme

$$N_1 = \frac{a_1}{2} p \quad (14)$$

$$N_2 = \frac{Eh^2}{2a_1} [(c_s + c_e) \cos \beta x - (c_s - c_e) \sin \beta x] + pa, \quad (15)$$

$$M_1 = D \left\{ [(c_s - c_e) \cos \beta x + (c_s + c_e) \sin \beta x] \beta e^{-\beta x} \right\} \quad (16)$$

$$M_2 = \mu M_1 \quad (17)$$

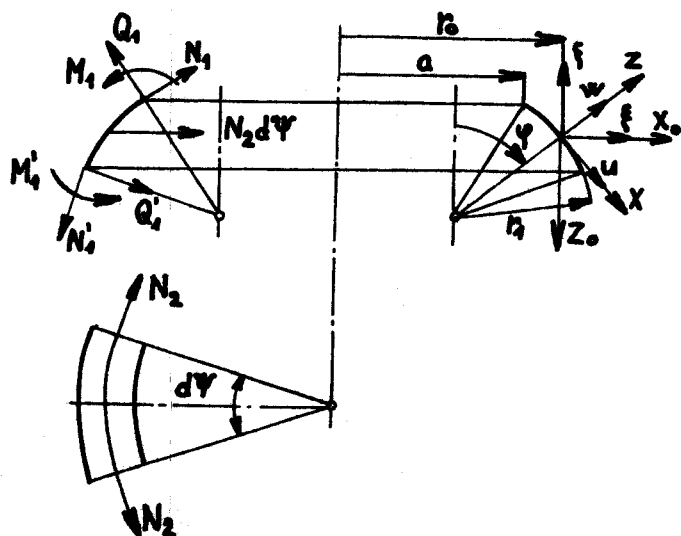
$$Q_1 = \frac{Eh^2}{ma_1} (c_e \cos \beta x - c_s \sin \beta x) e^{-\beta x} \quad (18)$$

$$\text{kde } m = \sqrt{12(1-\mu^2)}$$

2.3 Anuloidová skořepina

Protože jde o rotačně symetrickou napjatost a deformaci anuloidové skořepiny, odpadnou jednotkové síly S_1, S_2, Q_1 a jednotkové kroutící momenty M_1, M_2 a složky posuvů v . Na základě tohoto zjednodušení je odvozeno jednodušší řešení bez odvození obecných rovnic.

Na obrázku 5 jsou jednotkové síly a momenty působící v hlavních řezech tenkostěnné anuloidové skořepiny.



Obr. 5

Složkové výminky rovnováhy jsou psány ve směru rotační osy anuloidu a ve směru kolmém na tuto osu.

$$\frac{d}{d\varphi} [(N_1 \cos \varphi - Q_1 \sin \varphi) r] - N_2 r_1 + Z_o r_1 r = 0$$

$$\frac{d}{d\varphi} [(N_1 \sin \varphi + Q_1 \cos \varphi) r] + Z_o r_1 r = 0$$

$$\frac{d(M_1 r)}{d\varphi} - M_2 r_1 \cos \varphi - Q_1 r_1 r = 0$$

(19)

Jednotkové síly N_1, N_2, Q_1 se dají vyjádřit pomocí Meissnerovy funkce $V(\varphi)$.

Proto je zvolena substituce

$$N_2 = -\frac{1}{r_1} \frac{dV}{d\varphi} \quad (20)$$

Po dosazení z (20) do (19) dostaneme po integraci

$$(N_1 \cos \varphi - Q_1 \sin \varphi) r = V - \int_{\varphi_0}^{\varphi} X_0 r_1 r d\varphi$$

$$(N_1 \sin \varphi - Q_1 \cos \varphi) r = - \int_{\varphi_0}^{\varphi} Z_0 r_1 r d\varphi + (N_{10} \sin \varphi_0 + Q_{10} \cos \varphi_0) r_0 \quad (21)$$

Z těchto rovnic plyne

$$N_1 r = -V \cos \varphi + \Phi_1(\varphi)$$

$$Q_1 r = V \sin \varphi + \Phi_2(\varphi) \quad (22)$$

kde

$$\Phi_1(\varphi) = -\sin \varphi \int_{\varphi_0}^{\varphi} Z_0 r_1 r d\varphi - \cos \varphi \int_{\varphi_0}^{\varphi} X_0 r_1 r d\varphi + P_{0z} r_0 \sin \varphi$$

$$\Phi_2(\varphi) = -\cos \varphi \int_{\varphi_0}^{\varphi} Z_0 r_1 r d\varphi + \sin \varphi \int_{\varphi_0}^{\varphi} X_0 r_1 r d\varphi + P_{0z} r_0 \cos \varphi \quad (23)$$

Zde je $P_{0z} = N_{10} \sin \varphi_0 + Q_{10} \cos \varphi_0$.

Složky N_{10}, Q_{10} jsou jednotkové síly v řezu $\varphi = \varphi_0$.

Deformační rovnice (4) mají v tomto případě tvar

$$\varepsilon_1 = \frac{1}{r_1} \left(\frac{du}{d\varphi} + w \right)$$

$$\varepsilon_2 = \frac{1}{r} (u \cos \varphi + w \sin \varphi) = \frac{\xi}{r}$$

$$\chi_1 = -\frac{1}{r_1} \frac{dw}{d\varphi}$$

$$\chi_2 = -\frac{1}{r} w \cos \varphi \quad (24)$$

Zde $\xi = u \cos \varphi + w \sin \varphi$ je radiální složka posuvu.

Jednotkové síly a ohybové momenty jsou dány vzorcí (5).

Diferenciální rovnice určující tvar Meissnerovy funkce $V(\varphi)$ je stanovena z deformačních rovnic

$$\frac{dF}{d\varphi} = \left(\frac{du}{d\varphi} + w \right) \cos \varphi - \left(u - \frac{dw}{d\varphi} \right) \sin \varphi = r_1 (\epsilon_1 \cos \varphi - \nu \sin \varphi) \quad (25)$$

Současně je podle (24)

$$\frac{dF}{d\varphi} = r \frac{d\epsilon_2}{d\varphi} + \epsilon_2 \frac{dr}{d\varphi} = r \frac{d\epsilon_2}{d\varphi} + \epsilon_2 r_1 \cos \varphi \quad (26)$$

Porovnáním (25) a (26) dostaneme vztah mezi veličinami ϵ_1 , ϵ_2 a w

$$r \frac{d\epsilon_2}{d\varphi} = r_1 [(\epsilon_1 - \epsilon_2) \cos \varphi - \nu \sin \varphi] \quad (27)$$

Dosazením do (27) za ϵ_1 a ϵ_2 z rovnic (5) a za N_1 a N_2 z rovnic (20) a (22) je získána diferenciální rovnice pro neznámou funkci V

$$\frac{d^2 V}{d\varphi^2} + \frac{r_1}{r} \frac{dv}{d\varphi} \cos \varphi - \frac{r_1^2}{r^2} V \cos^2 \varphi + \mu \frac{r_1}{r} \sin \varphi = \nu \frac{E h r_1^2}{r^4} + r_1^2 \psi_1(\varphi) \quad (28)$$

$$\text{kde } \psi_1(\varphi) = - \left[\frac{1}{r_1^2} \phi_1(\varphi) \cos \varphi + \frac{\mu}{r_1 r} \frac{d\phi_1(\varphi)}{d\varphi} \right] \quad (29)$$

Dosazením do druhé rovnice (19) z rovnice (5) a (22) a po úpravě je získána druhá základní rovnice

$$\frac{d^2 w}{d\varphi^2} + \frac{r_1}{r} \frac{dw}{d\varphi} \cos \varphi - \frac{r_1^2}{r^2} w \cos^2 \varphi - \mu \frac{r_1}{r} w \sin \varphi = - \frac{r_1^2}{r^4 D} \sin \varphi + r_1^2 \psi_2(\varphi) \quad (30)$$

$$\text{kde } \psi_2(\varphi) = - \frac{\phi_2(\varphi)}{Dr} \quad (31)$$

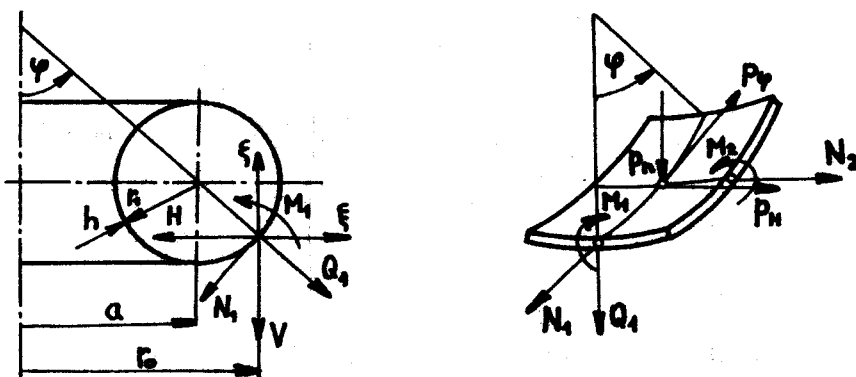
Zavedením diferenciálního operátoru

$$L() = \frac{d^2}{d\varphi^2} + \frac{r_1 \cos \varphi}{r} \frac{d}{d\varphi}() - \frac{r_1^2}{r^2} \cos^2 \varphi () \quad (32)$$

a substitucí $r = r_2 \sin \varphi$ jsou rovnice (28) a (30) přepáženy na tvar

$$\begin{aligned} L(V) + \frac{r_1}{r_2} V \mu &= \frac{E_0 r_1^2}{r_2} v + r_1 \psi(\varphi) \\ L(v) - \frac{r_1}{r_2} v \mu &= \frac{E_0 V}{D r_2} + r_1^2 \psi(\varphi) \end{aligned} \quad (33)$$

Zavedením složek H a V jednotkových sil N_1 a Q_1 a označení podle obr. 6 nabudou rovnice (33) tvaru



Obr. 6

$$(1+\lambda \sin \varphi) v^n + \lambda v' \cos \varphi - \left(\frac{\lambda^2 \cos^2 \varphi}{1+\lambda \sin \varphi} + \mu \lambda \sin \varphi \right) v' = v \chi \sin \varphi - v \Omega \cos \varphi$$

$$\begin{aligned} (1+\lambda \sin \varphi) \chi^n + \lambda \chi \cos \varphi - \left(\frac{\lambda^2 \cos^2 \varphi}{1+\lambda \sin \varphi} - \mu \lambda \sin \varphi \right) \chi &= -v v \sin \varphi + \\ + \lambda \cos \varphi \left(\mu + \frac{\lambda \sin \varphi}{1+\lambda \cos \varphi} \right) \Omega - \lambda P_n - \frac{\mu \lambda^2 P_\varphi}{1+\lambda \sin \varphi} \end{aligned} \quad (34)$$

kde

$$v = \frac{M_1}{ah}$$

$$\lambda = \frac{r_1}{a}$$

$$\chi = \frac{M_1 H}{E I}$$

$$\Omega = \frac{M_1 V}{E I}$$

$$P_n = \frac{E I r^2}{L^3} P_H$$

$$P_\varphi = \frac{E I r^2}{L^3} P_\varphi$$

Za působení jem vnitřního přetlaku $p_w = p$, $p_p = 0$ je

$$\chi_\varphi = \chi - \bar{P}(2 + \lambda \sin \varphi) \cos \varphi$$

$$\bar{P} = \frac{\mu \rho c_0}{\lambda^2 \pi^2}$$

$$\bar{A} = \frac{\mu \rho c_0}{\lambda^2 \pi^2} A$$

$$A = (1 + \lambda \sin \varphi_0) v_0 - \frac{p_{\text{ext}} (2 + \lambda \sin \varphi_0) \sin \varphi_0}{2}$$

(35)

v_0 je osová složka vnitřních sil v řezu $\varphi = \varphi_0$

Zavedením operátora

$$L(\) = \frac{1 + \lambda \sin \varphi}{\lambda \sin \varphi} \frac{d^2(\)}{d\varphi^2} + \frac{\cos \varphi}{\sin \varphi} \frac{d}{d\varphi} (\) - \frac{\lambda \cos^2 \varphi}{(1 + \lambda \sin \varphi) \sin \varphi} (\) \quad (36)$$

jsou rovnice (34) přepsány do tvaru

$$L(v) - \mu v = \frac{v}{\lambda} \chi_\varphi - \frac{v \cos \varphi}{\lambda \sin \varphi} \bar{A}$$

$$L(\chi_\varphi) + \mu \chi_\varphi = -\frac{v}{\lambda} v + \frac{\cos \varphi}{\sin \varphi} \left(\mu + \frac{\lambda \sin \varphi}{1 + \lambda \sin \varphi} \right) \bar{A} + \frac{\cos \varphi}{\sin \varphi} \frac{\lambda}{1 + \lambda \sin \varphi} \bar{P} \quad (37)$$

(37)

Jestliže je $v \gg \lambda$, tj. $r_i/h \gg 1$, jsou rovnice (37) zjednodušeny

$$\frac{d}{d\varphi} \left[(1 + \lambda \sin \varphi) \frac{dv}{d\varphi} \right] = v \chi_\varphi \sin \varphi - v \bar{A} \cos \varphi$$

$$\frac{d}{d\varphi} \left[(1 + \lambda \sin \varphi) \frac{d\chi_\varphi}{d\varphi} \right] = -v \sin \varphi v$$

(38)

a spojeny v jednu rovnici pro novou proměnnou η

$$\frac{d}{d\varphi} \left[(1 + \lambda \sin \varphi) \frac{d\eta}{d\varphi} \right] + i v \eta \sin \varphi = -i v \bar{A} \cos \varphi \quad (39)$$

Homogenní a partikulární řešení rovnice (39) má tvar

$$\eta_1 = \eta_{1R} + i \eta_{1i}, \quad \eta_2 = \eta_{2R} + i \eta_{2i}, \quad \frac{\eta_\varphi}{\bar{A}} = \eta_{\varphi R} + i \eta_{\varphi i} \quad (40)$$

kde η_φ je partikulární řešení.

Základní proměnné ϑ , χ_φ amiloidové skořepiny jsou pak dány funkcemi

$$\begin{aligned}\vartheta &= c_1 \eta_{1R} + c_2 \eta_{1I} + c_3 \eta_{2R} + c_4 \eta_{2I} + \bar{A} \eta_{\varphi I} \\ \chi_\varphi &= c_1 \eta_{1I} - c_2 \eta_{1R} + c_3 \eta_{2I} - c_4 \eta_{2R} - \bar{A} \eta_{\varphi R}\end{aligned}\quad (41)$$

c_1 až c_4 jsou integrační konstanty určené v okrajových podmínkách.

Rovnice (20), (22) a (5) vedou ke vztahům, které vyjadřují složky vnitřních sil a momentů v závislosti na ϑ , χ_φ

$$Q_1 = \frac{Eh^2}{ma} \left[\frac{-\chi_\varphi \sin \varphi + \bar{A} \cos \varphi}{1 + \lambda \sin \varphi} \right]$$

$$N_1 = \frac{Eh^2}{ma} \left[\frac{\chi_\varphi \cos \varphi + \bar{A} \sin \varphi + \bar{P}(2 + \lambda \sin \varphi)}{1 + \lambda \sin \varphi} \right]$$

$$N_2 = \frac{Eh^2}{mr_1} \left(\frac{d\chi_\varphi}{d\varphi} + \lambda \bar{P} \right)$$

$$M_1 = -\frac{D}{r_1} \left(\frac{d\vartheta}{d\varphi} + \mu \frac{\lambda \cos \varphi}{1 + \lambda \sin \varphi} \vartheta \right)$$

$$M_2 = -\frac{D}{r_1} \left(\mu \frac{d\vartheta}{d\varphi} + \frac{\lambda \cos \varphi}{1 + \lambda \sin \varphi} \vartheta \right) \quad (42)$$

Radiální složka posuvu ξ je určena ze vzorce (24)

$$\begin{aligned}\xi &= \frac{h}{m} \left[\left(\frac{1}{\lambda} + \sin \varphi \right) \frac{d\chi_\varphi}{d\varphi} - \mu \chi_\varphi \cos \varphi - \mu \bar{A} \sin \varphi + \bar{P} (1 - 2\mu + \right. \right. \\ &\quad \left. \left. + \lambda \sin \varphi - \mu \lambda \sin \varphi) \right]\end{aligned}\quad (43)$$

Axiální složka posuvu ξ je určena ze vzorce (27)

$$\frac{d\xi}{d\varphi} = \vartheta r_1 \cos \varphi \quad (44)$$

Rešení (40) má již tvar

$$\eta_{sR} = \sum_{l=0}^3 \sum_{m=0}^6 \lambda^m \nu^{2l} F^{sR}(2l, m)$$

$$\eta_{si} = \sum_{l=0}^3 \sum_{m=0}^6 \lambda^m \nu^{2l+1} F^{si}(2l+1, m)$$

$$\frac{d\eta_{sR}}{d\nu} = \sum_{l=0}^3 \sum_{m=0}^6 \lambda^m \nu^{2l} \frac{dF^{sR}(2l, m)}{d\nu}$$

$$\frac{d\eta_{si}}{d\nu} = \sum_{l=0}^3 \sum_{m=0}^6 \lambda^m \nu^{2l+1} \frac{dF^{si}(2l+1, m)}{d\nu}$$

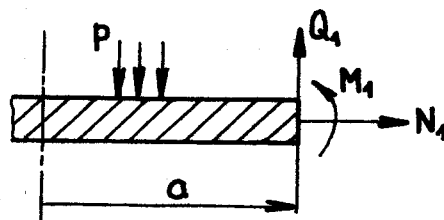
(45)

$$s = 1, 2, 4$$

Hodnoty F-funkcí a jejich derivace jsou sestaveny do tabulek v [1].

2.4 Deska

K řešení byla použita Kirchhoffova teorie tenkých desek



Obr.7

Základní diferenciální rovnice má tvar

$$\frac{d}{dr} \left[\frac{1}{r} \frac{d}{dr} (r v) \right] = -\frac{r}{2D_2} p \quad (46)$$

Odtut plyne

$$v = -\frac{r^3}{16D_2} p + \frac{c_7}{2} r + \frac{c_8}{r} \quad (47)$$

Protože ve středu desky nemá otvor

$$c_8 = 0$$

Pak pro vnitřní jednotkové síly a momenty platí

$$M_1 = -D_2 \left[\frac{dv}{dr} + \mu \frac{v}{r} \right] = D_2 \left[(1+\mu) \left(-\frac{c_7}{2} \right) + \frac{pr^2(3+\mu)}{16D_2} \right]$$

$$M_2 = -D_2 \left[\frac{v}{r} + \mu \frac{dv}{dr} \right] = D_2 \left[(1+\mu) \left(-\frac{c_7}{2} \right) + \frac{pr^2(1+3\mu)}{16D_2} \right]$$

$$N_1 = N_2 = C_9 \quad (48)$$

axiální posuv

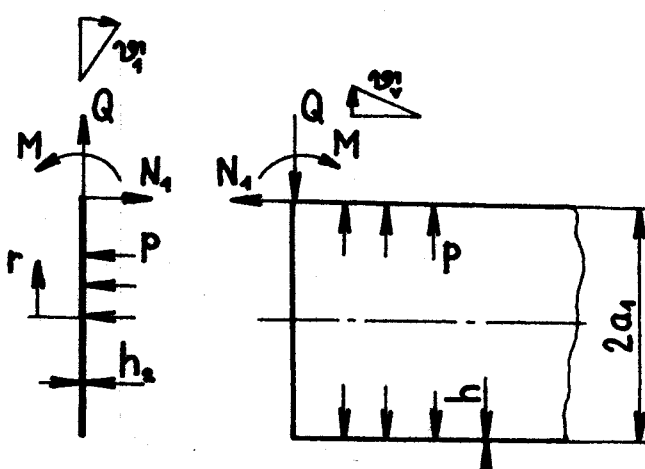
$$u = -\frac{c_7 r^2}{4} + \frac{pr^4}{64D_2} + C_{10} \quad (49)$$

$$w = 0$$

3. VÍPOČET

3.1 Zjednodušený výpočet

Při tomto výpočtu nemí uvažován amaleidový přechod mezi deskou a válcem. Zjednodušené spojení desky s válcem je na obr. 8



Obr. 8

Z rovnice (46) pro $r = a_1$ plyne

$$D_2 \left[\frac{d\psi}{dr} + \mu \frac{\psi}{r} \right] = - \left(M + Q \frac{h_2}{2} \right) \quad (50)$$

odtud

$$\psi_1 = \frac{2(M + Q \frac{h_2}{2})}{D_2} + \frac{2a_1^2}{16D_2} p \quad (51)$$

Po dosazení do rovnice (47) vyjde

$$\psi(r) = \frac{r}{16D_2} p \left(\frac{3+\mu}{1+\mu} a_1^2 - r^2 \right) - \frac{r}{(1+\mu)D_2} \left(M + Q \frac{h_2}{2} \right) \quad (52)$$

Pok natočení okraje desky

$$\psi_1 = \frac{a_1^3}{8(1+\mu)D_2} p - \frac{a_1}{(1+\mu)D_2} \left(M + Q \frac{h_2}{2} \right) \quad (53)$$

$$D_2 = \frac{Eh_2^3}{12(1-\mu^2)}$$

Působením sily Q se zvětší poloměr desky o δ_1

$$\delta_1 = \frac{Qa_{11}}{Eh} (1-\mu) \quad (54)$$

Deformační podmínky pro společný thal otocení a pro společný radiální posuv jsou

$$Ev_1 = Ma_{11} - Qa_{12}$$

$$E\left(\delta_1 - \frac{h}{2}v_1\right) = p \frac{a_1^2}{h} \left(1 - \frac{\mu}{2}\right) + Ma_{21} - Qa_{22} \quad (55)$$

$$a_{11} = \frac{4a_1^2 \beta^2}{h} \quad a_{12} = a_{21} = \frac{2a_1^2 \beta^2}{h}$$

$$a_{22} = \frac{2a_1^2 \beta}{h} \quad (56)$$

Dosazením do rovnic (55) ze vztahů (53), (54) a (56) a výpočtem vyjde staticky neurčitá posouvající síla Q a staticky neurčitý ohybový moment M .

3.1.1 Výpočet napětí skořepiny

$$M_1 = e^{-\beta x} \left[M\sqrt{2} \sin\left(\beta x + \frac{\pi}{4}\right) - \frac{Q}{\beta} \sin(\beta x) \right]$$

$$M_2 = \mu M_1 \quad (57)$$

$$N_2 = 2a_1 \beta^2 e^{-\beta x} \left[M\sqrt{2} \cos\left(\beta x + \frac{\pi}{4}\right) - \frac{Q}{\beta} \cos(\beta x) \right] \quad (58)$$

Ve skořepině vzniká osové ohybové napětí

$$\tilde{\sigma}_{ao} = \frac{6M_1}{h^2} \quad (59)$$

$$\text{obvodové} \quad \tilde{\sigma}_{to} = \mu \tilde{\sigma}_{ao} \quad (60)$$

Membránová napětí ve skořepině pak jsou:

$$\sigma_{am} = \frac{Pa_1}{2h}$$

$$\sigma_{tm} = \frac{Pa_1}{h} + \frac{N_2}{h}$$

(61)

Výsledná napětí na vnějším vláknu

$$\sigma_a^I = \sigma_{am} - \sigma_{oo}$$

$$\sigma_t^I = \sigma_{tm} - \sigma_{to}$$

(62)

Výsledná napětí na vnitřním vláknu

$$\sigma_a^{II} = \sigma_{am} + \sigma_{oo}$$

$$\sigma_t^{II} = \sigma_{tm} + \sigma_{to}$$

(63)

3.1.2. Výpočet napětí desky

$$M_1 = \frac{P}{16} (3 + \mu) (a_1^2 - r^2) - \left(M + Q \frac{h_2}{2} \right)$$

$$M_2 = \frac{P}{16} \left[(3 + \mu) a_1^2 - (1 + 3\mu) r^2 \right] - \left(M + Q \frac{h_2}{2} \right)$$

(64)

Na vnějším povrchu vzniká radiální a obvodové napětí

$$\sigma_r^I = \frac{6M_1}{h_2^2} + \frac{Q}{h_2}$$

$$\sigma_t^I = \frac{6M_2}{h_2^2} + \frac{Q}{h_2}$$

(65)

Na vnitřním povrchu vzniká radiální a obvodové napětí

$$\sigma_r^{II} = \frac{Q}{h_2} - \frac{6M_1}{h_2^2}$$

$$\sigma_t^{II} = \frac{Q}{h_2} - \frac{6M_2}{h_2^2}$$

(66)

Z jednodušený výpočet byl proveden na počítači Hewlett

Packard Model 9830A. Výsledky jsou uvedeny v tab. 1, 2, 3, 4.

Tab. 1 pro válec $p=1,5$ $h=h_2=2,25$ [mm]

$$M = 1,7748 \cdot 10^{-4} \quad Q = 3,1498 \cdot 10^{-2} \quad \delta_{\text{am}} = 11,6666$$

| x [mm] | M_t | δ_{so} | δ_{tm} | δ_{to} |
|----------|-------------------------|----------------------|----------------------|----------------------|
| 0 | $1,7748 \cdot 10^{-4}$ | 210,3447 | 284,8860 | 48,3793 |
| 2 | $2,1138 \cdot 10^{-4}$ | 250,5216 | 184,7947 | 57,6200 |
| 4 | $2,0325 \cdot 10^{-4}$ | 240,8830 | 108,4104 | 55,4031 |
| 6 | $1,7274 \cdot 10^{-4}$ | 204,7297 | 54,9926 | 47,0878 |
| 8 | $1,3367 \cdot 10^{-4}$ | 158,4284 | 21,1935 | 36,4885 |
| 10 | $9,4831 \cdot 10^{-5}$ | 112,3921 | 2,6413 | 25,8502 |
| 12 | $6,1076 \cdot 10^{-5}$ | 72,3868 | -5,0476 | 16,6490 |
| 14 | $3,4470 \cdot 10^{-5}$ | 40,8534 | -5,7032 | 9,3963 |
| 16 | $1,5245 \cdot 10^{-5}$ | 18,0686 | -2,3574 | 4,1558 |
| 18 | $2,5891 \cdot 10^{-6}$ | 3,0686 | 2,7893 | 0,7058 |
| 20 | $-4,7911 \cdot 10^{-6}$ | -5,6784 | 8,2816 | -1,3060 |
| 22 | $-8,2895 \cdot 10^{-6}$ | -9,8246 | 13,2643 | -2,2597 |
| 24 | $-9,1787 \cdot 10^{-6}$ | -10,8784 | 17,3234 | -2,5020 |
| 26 | $-8,5009 \cdot 10^{-6}$ | -10,0751 | 20,3566 | -2,3173 |
| 28 | $-7,0370 \cdot 10^{-6}$ | -8,3401 | 22,4248 | -1,9182 |
| 30 | $-5,3223 \cdot 10^{-6}$ | -6,3079 | 23,6929 | -1,4508 |
| x [mm] | δ_a^I | δ_a^I | δ_t^I | δ_t^I |
| 0 | 222,0114 | -198,6780 | 333,2653 | 236,5067 |
| 2 | 262,1882 | -238,8549 | 242,4147 | 127,1747 |
| 4 | 252,5497 | -229,2163 | 163,8135 | 53,0074 |
| 6 | 216,3964 | -193,0630 | 102,0804 | 7,9047 |
| 8 | 170,0951 | -146,7617 | 57,6320 | -15,2451 |
| 10 | 124,0588 | -100,7254 | 28,4914 | -23,2089 |
| 12 | 84,0535 | -60,7201 | 11,6013 | -21,6967 |
| 14 | 52,5200 | -29,1867 | 3,6931 | -15,0994 |
| 16 | 29,7353 | -6,4019 | 1,7983 | -6,5132 |
| 18 | 14,7353 | 8,5981 | 3,4951 | 2,0836 |
| 20 | 5,9883 | 17,3450 | 6,9755 | 9,5876 |
| 22 | 1,8421 | 21,4913 | 11,0046 | 15,5239 |
| 24 | 0,7882 | 22,5451 | 14,8243 | 19,8284 |
| 26 | 1,5915 | 21,7418 | 18,0393 | 22,6739 |
| 28 | 3,3265 | 20,0068 | 20,5066 | 24,3431 |
| 30 | 5,3588 | 17,9745 | 22,2421 | 25,1437 |

Tab. 2 pro deskru p=1,5 h_z=2,25 [mm]

$$M = 1,7748 \cdot 10^{-4} \quad Q = 3,1498 \cdot 10^{-2}$$

| r [mm] | σ_r^I | σ_t^I | σ_r^{II} | σ_t^{II} |
|--------|--------------|--------------|-----------------|-----------------|
| 0 | 201,2964 | 201,2964 | -173,2986 | -173,2986 |
| 2,5 | 199,0533 | 200,1228 | -171,0556 | -172,1250 |
| 5 | 192,3242 | 196,6020 | -164,3264 | -168,6042 |
| 7,5 | 181,1089 | 190,7339 | -153,1111 | -162,7361 |
| 10 | 165,4075 | 182,5186 | -137,4097 | -154,5208 |
| 12,5 | 145,2200 | 171,9561 | -117,2222 | -143,9583 |
| 15 | 120,5064 | 159,4464 | -92,5486 | -131,0486 |
| 17,5 | 91,3867 | 143,7895 | -63,3889 | -115,7917 |
| 20 | 57,7408 | 126,1853 | -29,7431 | -98,1875 |
| 22,5 | 19,6089 | 106,2339 | 8,3889 | -78,2361 |
| 25 | -23,0091 | 83,9353 | 51,0069 | -55,9375 |
| 27,5 | -70,1135 | 59,2895 | 98,1111 | -31,2917 |
| 30 | -121,7036 | 32,2964 | 149,7014 | -4,2986 |
| 32,5 | -177,7800 | 2,9561 | 205,7778 | 25,0417 |
| 35 | -238,8425 | -28,7314 | 266,3403 | 56,7292 |

Tab. 3 pro valice $p=2,0$ $b=b_2=2,25 \text{ [mm]}$

$$M = 2,3664 \cdot 10^4$$

$$Q = 4,1997 \cdot 10^{-2}$$

$$G_{0m} = 15,5555$$

| $x \text{ [mm]}$ | M_i | G_{00} | G_{tm} | G_{t0} |
|------------------|----------------------|-----------|----------|----------|
| 0 | $2,3664 \cdot 10^4$ | 280,4596 | 379,8480 | 64,5057 |
| 2 | $2,3184 \cdot 10^4$ | 334,0287 | 246,3929 | 76,8266 |
| 4 | $2,7099 \cdot 10^4$ | 321,1773 | 144,5473 | 73,8708 |
| 6 | $2,3032 \cdot 10^4$ | 272,9729 | 73,3234 | 62,7838 |
| 8 | $1,7823 \cdot 10^4$ | 211,2379 | 28,2579 | 48,5847 |
| 10 | $1,2644 \cdot 10^4$ | 149,8561 | 3,5217 | 34,4669 |
| 12 | $8,1435 \cdot 10^3$ | 96,5157 | -6,7302 | 22,1986 |
| 14 | $4,5960 \cdot 10^3$ | 54,4711 | -7,6042 | 12,5284 |
| 16 | $2,0327 \cdot 10^3$ | 24,0915 | -3,1433 | 5,5410 |
| 18 | $3,4522 \cdot 10^2$ | 4,0915 | 3,7191 | 0,9410 |
| 20 | $-6,3882 \cdot 10^2$ | -7,5711 | 11,0421 | -1,7414 |
| 22 | $-1,1053 \cdot 10^2$ | -13,0995 | 17,6857 | -3,0129 |
| 24 | $-1,2238 \cdot 10^2$ | -14,5046 | 23,1018 | -3,3361 |
| 26 | $-1,1335 \cdot 10^2$ | -13,4335 | 27,1422 | -3,0897 |
| 28 | $-9,3826 \cdot 10^1$ | -11,1202 | 29,8998 | -2,5576 |
| 30 | $-7,0964 \cdot 10^1$ | -8,4105 | 31,5906 | -1,9344 |
| $x \text{ [mm]}$ | G_a^x | G_a^z | G_t^x | G_t^z |
| 0 | 296,0152 | -264,9041 | 444,3537 | 315,3423 |
| 2 | 349,5843 | -318,4732 | 323,2195 | 169,5663 |
| 4 | 336,7329 | -305,6218 | 218,4180 | 70,6765 |
| 6 | 288,5285 | -257,4174 | 136,1072 | 10,5397 |
| 8 | 226,7934 | -195,6823 | 76,8427 | -20,3268 |
| 10 | 165,4117 | -134,3006 | 37,9886 | -30,9452 |
| 12 | 112,0713 | -80,9602 | 15,4684 | -28,9288 |
| 14 | 70,0267 | -38,9156 | 4,9241 | -20,1326 |
| 16 | 39,6470 | -8,5359 | 2,3978 | -8,6843 |
| 18 | 19,6470 | 11,4641 | 4,6602 | 2,7781 |
| 20 | 7,9844 | 23,1267 | 9,3007 | 12,7834 |
| 22 | 2,4561 | 28,6550 | 14,6728 | 20,6986 |
| 24 | 1,0510 | 30,0601 | 19,7658 | 26,4379 |
| 26 | 2,1220 | 28,9891 | 24,0525 | 30,2319 |
| 28 | 4,4354 | 26,6757 | 27,3422 | 32,4574 |
| 30 | 7,1451 | 23,9661 | 29,6562 | 33,5250 |

Tab. 4 pro desku $p=2,0$ $b_2=2,25$ [mm]

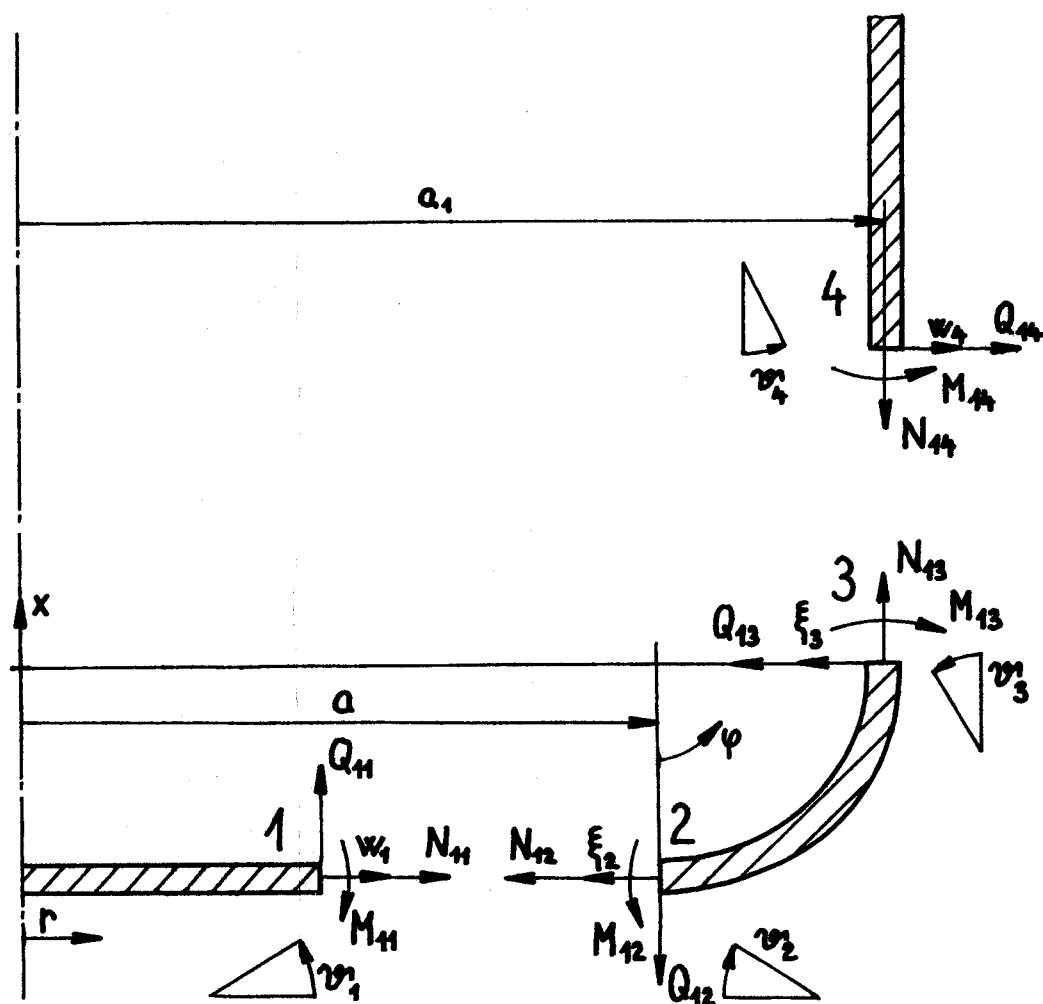
$$M = 2,3664 \cdot 10^4 \quad Q = 4,1997 \cdot 10^{-2}$$

| r [mm] | σ_r^I | σ_t^I | σ_r^{II} | σ_t^{II} |
|----------|--------------|--------------|-----------------|-----------------|
| 0 | 268,3952 | 268,3952 | -231,0648 | -231,0648 |
| 2,5 | 265,4045 | 266,8304 | -228,0741 | -229,5000 |
| 5 | 256,4322 | 262,1359 | -219,1018 | -224,8055 |
| 7,5 | 241,4785 | 254,3119 | -204,1481 | -216,9815 |
| 10 | 220,5433 | 243,3582 | -183,2130 | -206,0278 |
| 12,5 | 193,6267 | 229,2748 | -156,2963 | -191,9444 |
| 15 | 160,7285 | 212,0619 | -123,3981 | -174,7315 |
| 17,5 | 121,8489 | 191,7193 | -84,5185 | -156,3889 |
| 20 | 76,9878 | 168,2470 | -39,6574 | -130,9167 |
| 22,5 | 26,1452 | 141,6452 | 11,1852 | -104,3148 |
| 25 | -30,6789 | 111,9137 | 68,0093 | -74,5833 |
| 27,5 | -93,4844 | 79,0526 | 130,8148 | -41,7222 |
| 30 | -162,2715 | 43,0619 | 199,6019 | -5,7315 |
| 32,5 | -237,0400 | 3,9415 | 274,3704 | 33,3889 |
| 35 | -317,7900 | -38,3085 | 355,1204 | 75,6389 |

3.2 Výpočet s amuloidovým přechodem

3.2.1. Okrajové podmínky

Z okrajových podmínek jsou vypočteny integrační konstanty c_1 až c_7 , až c_9 . Jednotkové sily a momenty v amuloidovém přechodu mezi válcovou skořepinou a deskou jsou na obr. 9.



Obr. 9

Spoj 4 - 3 ($z=0, \varphi=90^\circ$)

$$\begin{aligned} M_{44} &= M_{13} & w_4 &= -\xi_3 \\ Q_{44} &= Q_{13} & v_4 &= v_3 \end{aligned} \quad (67)$$

Spoj 2 - 1 ($r=a, \varphi=0^\circ$)

$$\begin{aligned} M_{42} &= M_{11} & \xi_2 &= 0 \\ N_{42} &= N_{11} & v_2 &= -v_1 \end{aligned} \quad (68)$$

Z podmínky $v_4 = v_3$ plyne $c_5 = c_1$

$$Q_{44} = Q_{13} \text{ plyne } c_6 = c_2$$

z podminką (67) wynika

$$\frac{\beta_{R,C_1}}{\left(\frac{d\eta_{2R}}{d\varphi}\right)_{\varphi=90^\circ}} - \frac{\beta_{R,C_2}}{\left(\frac{d\eta_{2R}}{d\varphi}\right)_{\varphi=90^\circ}} + C_3 = 0$$

$$\frac{m}{2h\beta} C_1 + \frac{m}{2h\beta} C_2 - C_4 \left(\frac{d\eta_{2R}}{d\varphi} \right)_{\varphi=90^\circ} \left(\frac{1}{\lambda} + 1 \right) = \mu \bar{A} -$$

$$-P [1 - 2\mu + (1-\mu)\lambda] - \frac{a^2 m}{E h^2} P \left(1 - \frac{\mu}{2}\right)$$

z podminką (68) wynika

$$C_1 \left[\left(\frac{d\eta_{1R}}{d\varphi} \right)_{\varphi=0^\circ} + (\eta_{1R})_{\varphi=0^\circ} \mu \lambda \right] + C_2 \left[\left(\frac{d\eta_{1i}}{d\varphi} \right)_{\varphi=0^\circ} + (\eta_{1i})_{\varphi=0^\circ} \mu \lambda \right] +$$

$$+ C_3 \left[\left(\frac{d\eta_{2R}}{d\varphi} \right)_{\varphi=0^\circ} + (\eta_{2R})_{\varphi=0^\circ} \mu \lambda \right] + C_4 \left[\left(\frac{d\eta_{2i}}{d\varphi} \right)_{\varphi=0^\circ} + (\eta_{2i})_{\varphi=0^\circ} \mu \lambda \right] - 4C_7(1+\mu)r_i =$$

$$= -\bar{A} \left[\left(\frac{d\eta_{4pi}}{d\varphi} \right)_{\varphi=0^\circ} + (\eta_{4pi})_{\varphi=0^\circ} \mu \lambda \right] - P \frac{r_i a^2 (3+\mu)}{2 D_2}$$

$$C_1 (\eta_{1R})_{\varphi=0^\circ} + C_2 (\eta_{1i})_{\varphi=0^\circ} + C_3 (\eta_{2R})_{\varphi=0^\circ} + C_4 (\eta_{2i})_{\varphi=0^\circ} + C_7 \frac{a}{2} =$$

$$= P \frac{a^3}{16 D_2} - \bar{A} (\eta_{4pi})_{\varphi=0^\circ}$$

$$C_1 \left[\left(\frac{d\eta_{1i}}{d\varphi} \right)_{\varphi=0^\circ} - (\eta_{1i})_{\varphi=0^\circ} \mu \lambda \right] - C_2 \left[\left(\frac{d\eta_{1R}}{d\varphi} \right)_{\varphi=0^\circ} - (\eta_{1R})_{\varphi=0^\circ} \mu \lambda \right] + C_3 \left[\left(\frac{d\eta_{2i}}{d\varphi} \right)_{\varphi=0^\circ} -$$

$$- (\eta_{2i})_{\varphi=0^\circ} \mu \lambda \right] - C_4 \left[\left(\frac{d\eta_{2R}}{d\varphi} \right)_{\varphi=0^\circ} - (\eta_{2R})_{\varphi=0^\circ} \mu \lambda \right] = \bar{A} \left[\left(\frac{d\eta_{4pi}}{d\varphi} \right)_{\varphi=0^\circ} - (\eta_{4pi})_{\varphi=0^\circ} \mu \lambda \right] -$$

$$-\bar{P}(1-2\mu)\lambda$$

$$c_1(\gamma_{1i})_{\varphi=0^\circ} - c_2(\gamma_{1R})_{\varphi=0^\circ} + c_3(\gamma_{2i})_{\varphi=0^\circ} - c_4(\gamma_{2R})_{\varphi=0^\circ} - c_9 \frac{ma}{Eh^2} = \\ = \bar{A}(\gamma_{pr})_{\varphi=0^\circ} - 2\bar{P} \quad (69)$$

3.2.2. Průběhy napětí, jednotkových sil a momentů

Výpočet byl proveden na počítači Hewlett Packard Model 9830A. Výsledky jsou uvedeny v tab. 5 a 6.

Tab. 5 pro výšku p=1,5 h=h = 2,25 [mm]

$$M_4 = 1,8202 \cdot 10^{-4} \quad Q_4 = -4,6528 \cdot 10^{-2}$$

| x [mm] | M ₄ | G _{ao} | G _{tm} | G _{to} |
|--------|-----------------------------|-----------------------------|-----------------------------|-----------------------------|
| 0 | 1,8202 · 10 ⁻⁴ | 174,7431 | -61,6378 | 40,1909 |
| 2 | 1,0081 · 10 ⁻⁴ | 96,7835 | -59,5945 | 22,2602 |
| 4 | 4,2434 · 10 ⁻⁵ | 40,7369 | -49,0116 | 9,3695 |
| 6 | 3,9703 · 10 ⁻⁶ | 3,8115 | -34,7628 | 0,8766 |
| 8 | -1,8570 · 10 ⁻⁵ | -17,8276 | -20,0736 | -4,1003 |
| 10 | -2,9340 · 10 ⁻⁵ | -28,1661 | -6,8468 | -6,4782 |
| 12 | -3,2095 · 10 ⁻⁵ | -30,8115 | 3,9964 | -7,0866 |
| 14 | -2,9930 · 10 ⁻⁵ | -28,7323 | 12,2053 | -6,6084 |
| 16 | -2,5192 · 10 ⁻⁵ | -24,1841 | 17,9439 | -5,5624 |
| 18 | -1,9531 · 10 ⁻⁵ | -18,7499 | 21,5944 | -4,3125 |
| 20 | -1,4002 · 10 ⁻⁵ | -13,9416 | 23,6203 | -3,0916 |
| 22 | -9,1931 · 10 ⁻⁶ | -8,8254 | 24,4772 | -2,0298 |
| 24 | -5,3598 · 10 ⁻⁶ | -5,1454 | 24,5630 | -1,1834 |
| 26 | -2,5338 · 10 ⁻⁶ | -2,4324 | 24,1962 | -0,5595 |
| 28 | -6,1588 · 10 ⁻⁷ | -0,5912 | 23,6125 | -0,1360 |
| 30 | 5,5684 · 10 ⁻⁷ | 0,5346 | 22,9725 | 0,1229 |
| x [mm] | G _a ^I | G _a ^I | G _t ^I | G _t ^I |
| 0 | 185,2431 | -164,2431 | -21,4469 | -101,8287 |
| 2 | 107,2835 | -86,2835 | -37,3343 | -81,8547 |
| 4 | 51,2369 | -30,2369 | -39,6421 | -58,3810 |
| 6 | 14,3115 | 6,6885 | -33,8861 | -35,6394 |
| 8 | -7,3276 | 28,3276 | -24,1740 | -15,9733 |
| 10 | -17,6661 | 38,6661 | -13,3250 | -0,3686 |
| 12 | -20,3115 | 41,3115 | -3,0903 | 11,0830 |
| 14 | -18,2323 | 39,2323 | 5,5969 | 18,8137 |
| 16 | -13,6841 | 34,6841 | 12,3815 | 23,5062 |
| 18 | -8,2499 | 29,2499 | 17,2819 | 25,9069 |
| 20 | -2,9416 | 23,9416 | 20,5287 | 26,7119 |
| 22 | 1,6746 | 19,3254 | 22,4473 | 26,5070 |
| 24 | 5,3546 | 15,6454 | 23,3796 | 25,7464 |
| 26 | 8,0676 | 12,9324 | 23,6368 | 24,7557 |
| 28 | 9,9088 | 11,0912 | 23,4766 | 23,7485 |
| 30 | 11,0346 | 9,9654 | 23,0954 | 22,8495 |

Tab. 6 pro desku $p=1,5$ $h=2,25$ [mm]

$$M_4 = 2,1672 \cdot 10^{-4} \quad Q_n = 5,9838 \cdot 10^{-2}$$

| r [mm] | σ_r^I | σ_t^I | σ_r^{II} | σ_t^{II} |
|----------|--------------|--------------|-----------------|-----------------|
| 0 | 23,4423 | 23,4423 | 24,4281 | 24,4281 |
| 2,5 | 21,6255 | 22,4917 | 26,2449 | 25,3787 |
| 5 | 16,1748 | 19,6398 | 31,6956 | 28,2306 |
| 7,5 | 7,0905 | 14,8867 | 40,7799 | 32,9837 |
| 10 | -5,6277 | 8,2323 | 53,4981 | 39,6381 |
| 12,5 | -21,9795 | -0,3233 | 69,8499 | 48,1937 |
| 15 | -41,9652 | -10,7802 | 89,8356 | 58,6506 |
| 17,5 | -65,5845 | -23,1383 | 113,4549 | 71,0087 |
| 20 | -92,8377 | -37,3977 | 140,7081 | 85,2681 |
| 22,5 | -123,7245 | -53,5583 | 171,5949 | 101,4287 |
| 25 | -158,2452 | -71,6202 | 206,1156 | 119,4906 |
| 27,5 | -196,3995 | -91,5833 | 244,2699 | 139,4537 |
| 30 | -238,1877 | -113,4477 | 286,0581 | 161,3181 |

4. Technické a ekonomické zhodnocení

Výsledky výpočtu ukazují, že ve spodní části láhve EURO vznikají špičky napětí, které nedovolují ztenčení tloušťky stěny láhve. Tím ale není vyloučena možnost výroby a použití ultralehké láhve. Nové tvarovací stroje pracující lisofonkačí metodou dosahují stejnoměrného rozdělení skloviny a umožňují vyrábět láhve o minimální tloušťce stěny 0,5 mm. Pro tyto tenkostěnné výrobky jsou však nutné technologie pro jejich spevňování. Konečná technologie zatím k dispozici není.

První metodou je spevňování výměnou iontů, při níž jsou sodné ionty skloviny láhve vyměňovány za ionty draselné. Toto chemické temperování zajišťuje zvýšení odolnosti láhví proti trhlinám řádově o 7% a pevnost proti nárazu řádově o 100%. Zavedení této metody do průmyslové výroby brání pomalá rychlosť chemického temperování.

Druhou metodou je povlečení láhve nebo její přepláštění vnějšího povrchu plastickou hmotou. Náklady na povlečení láhve jsou však poměrně vysoké, a proto se tato metoda příliš neuplatnila.

Výroba ultralehkých láhví je nutná z hlediska ekonomického, ale váhová úspora je podmíněna konečnou pevností láhve.

5. Závěr

Diplomová práce řeší napjatost ve spodní části láhve EVRO, v přechodu válcové části láhve do dna láhve. Přechod je proveden dvěma amuloidy, prvním o poloměru $R=120$ mm, který není ve výpočtu uvažován, protože použitá výpočtová metoda pro tento není vhodná a druhým amuloidem o poloměru $r=4$ mm. U této amuloidové skořepiny není úplně splněna podmínka tenkostěnnosti. Dno láhve, které je ve skutečnosti tvorené kulovou plochou je počítáno jako tenká deska. Z těchto důvodů se budou vypočtená napěti poměrně lišit od skutečných.

V první části je vyřešena zjednodušená úloha, kdy válcová část je přímo spojena s deskou. Spičky napěti v tomto případě několikrát převyšují max pevnosti v tahu skla.

Dále byl proveden výpočet pro amuloidový přechod mezi deskou a válcem. Spičky napěti jsou nižší než ve zjednodušeném výpočtu, ale stále převyšují mechanické vlastnosti obalového skla. Maximální spička napěti vzniká v amuloidové skořepině a převyšuje asi o 19% maximální spičku napěti ve válcové skořepině.

Odstanění tak vysokých hodnot napěti je možné zvětšením poloměru amuloidové skořepiny a zvětšením tloušťky stěny spodní části láhve.

Závěrem děkuji Ing. Jitce Kvasilové za pomoc při řešení na počítači Hewlett Packard Model 9850A, kterým je KMP VŠST Liberec vybavena.

6. Seznam příloh

Příloha 1: Program na výpočet napětí, jednotkových sil
a momentů pro zjednodušený výpočet

Příloha 2: Program pro výpočet koeficientů soustavy rovnic
pro okrajové podmínky

Příloha 3: Program na výpočet integračních konstant

Příloha 4: Program na výpočet napětí, jednotkových sil
a momentů pro amuloidový přechod

7. Seznam použité literatury

- [1] Gorbatev N. - Valenta J.: Statika skořepin a skořepinových konstrukcí. SNTL, Praha 1972
- [2] Placák V. - Kunc J.: Výpočet napjatosti skořepin. SNTL, Praha 1966
- [3] Höschl C.: Pružnost a pevnost ve strojníctví. SNTL, Praha 1971
- [4] Prošek A.: Výpočet dimenší lžíci s plastů. Diplomová práce 1328/77
- [5] Hlaváček J.: Sklářské stroje. SNTL, Praha 1970
- [6] Přehled přednášek XII. mezinárodního sklářského kongresu. Praha 1977



